

RAVENSBURG-WEINGARTEN UNIVERSITY



MASTER THESIS

**Implementierung eines Earliest First  
Deadline Scheduler in FreeRTOS auf einem  
STM32**

Fabian Wicker 32235

19. Januar 2021

## Eidesstattliche Erklärung

Ich versichere, dass ich die vorliegende Arbeit „Implementierung eines Earliest First Deadline Scheduler in FreeRTOS“ selbständig angefertigt und mich nicht fremder Hilfe bedient habe. Alle Stellen, die wörtlich oder sinngemäß veröffentlichtem und unveröffentlichtem Schriftgut entnommen sind, habe ich als solche kenntlich gemacht.

Unterwaldhausen, den 19. Januar 2021

---

Fabian Wicker

## Aufgabenbeschreibung

Ziel dieser Masterarbeit ist es, einen Earliest Deadline First (EDF)-Scheduler in Free Real-Time Operating System (FreeRTOS) auf einem STM32-Mikrocontroller zu integrieren. Die korrekte Funktion des EDF-Schedulers soll anhand zwei Testanwendungen garantiert werden. Folgende Aufgaben gehören zu dieser Masterarbeit:

1. Implementierung des EDF-Schedulers in FreeRTOS
2. Erstellung einer visuellen 'Blinky' Demonstration
3. Integration einer Fast Fourier Transformation (FFT)-Berechnung
4. Signalgenerator auf einem Host-Computer

## Abstract

Lückenfüller...

## Inhaltsverzeichnis

1	Grundlagen	4
1.1	Echtzeitsysteme . . . . .	4
1.2	Scheduler . . . . .	5
1.2.1	Rate Monotonic Scheduling (RMS) . . . . .	6
1.2.2	Deadline Monotonic Scheduling (DMS) . . . . .	7
1.2.3	EDF . . . . .	7
1.3	FreeRTOS . . . . .	7
1.3.1	FreeRTOS Scheduling Richtlinie . . . . .	8
1.3.2	Overhead und Footprint . . . . .	9
1.3.3	Task States . . . . .	9
1.4	Idle Task . . . . .	10
1.4.1	Interrupts . . . . .	11
1.4.2	FreeRTOS Sys-Tick . . . . .	11
1.4.3	FreeRTOS Queues . . . . .	11
1.5	Periodische Tasks . . . . .	11
1.6	User Datagram Protocol (UDP) . . . . .	12
1.7	FFT . . . . .	12
1.8	Plattform . . . . .	14
2	Der EDF Scheduler	16
2.1	Implementierung . . . . .	16

## Abkürzungen

<b>z.B.</b>	zum Beispiel
<b>WLAN</b>	Wireless Local Area Network
<b>FPGA</b>	Field Programmable Gate Array
<b>DSP</b>	Digital Signal Processor
<b>EDF</b>	Earliest Deadline First
<b>FreeRTOS</b>	Free Real-Time Operating System
<b>FFT</b>	Fast Fourier Transformation
<b>RMS</b>	Rate Monotonic Scheduling
<b>DMS</b>	Deadline Monotonic Scheduling
<b>CPU</b>	Central Processing Unit
<b>WCET</b>	Worst Execution Time
<b>MQTT</b>	Message Queuing Telemetry Transport
<b>HTTP</b>	Hypertext Transfer Protocol
<b>IP</b>	Internet Protocol
<b>UDP</b>	User Datagram Protocol
<b>TCP</b>	Transmission Control Protocol
<b>IoT</b>	Internet of Things
<b>JSON</b>	JavaScript Object Notation
<b>API</b>	Application Programming Interface
<b>CLI</b>	Command Line Interface
<b>RAM</b>	Random-Access Memory

<b>ROM</b>	Read-Only Memory
<b>IRQ</b>	Interrupt Request
<b>ISR</b>	Interrupt Service Routine
<b>i.A.a</b>	in Anlehnung an
<b>FIFO</b>	First Input First Output
<b>DFT</b>	Diskrete Fourier Transformation
<b>CMSIS</b>	Cortex Microcontroller Interface Standard
<b>USART</b>	Universal Asynchronous Receiver Transmitter

## Formelverzeichnis

1	RMS Berechnung der Central Processing Unit (CPU)-Auslastung (Wikipedia, 2020c) . . . . .	6
2	EDF Berechnung CPU-Auslastung (Wikipedia contributors, 2021) . . . . .	7
3	Parameter von periodischen Tasks . . . . .	12
4	Berechnung der Diskrete Fourier Transformation (DFT) Komplexität . . . . .	13
5	Rechenbedingung der FFT . . . . .	13
6	Aufteilung der DFT in Anlehnung an (i.A.a) (Werner, 2012) . . . . .	14
7	Umformung DFT i.A.a (Werner, 2012) . . . . .	14
8	Resultierende Gleichungen nach Aufspaltung der DFT i.A.a (Werner, 2012) .	14



# 1 Grundlagen

Lückenfüller

```
1      createEDFTask(           // Task Creation
2          testFunc,           // Pointer to task entry function
3          "Test Function",     // A descriptive name for the task
4          300,                 // The number of words to allocate
5          NULL,                // A value that will be passed into the task
6          1,                   // WCET in ms
7          5,                   // Period of Task in ms
8          4 );                 // Deadline of Task in ms
```

Programmcode 1: FreeRTOS Task creation and deletion

## 1.1 Echtzeitsysteme

Unter Echtzeit wird die Anforderung bezeichnet, dass innerhalb einer kürzesten definierten Zeitspanne die geforderte Aufgabe korrekt ausgeführt wird. Echtzeitsysteme sind Systeme, welche diese Anforderungen erfüllen und kommen in diversen Technikgebieten zur Anwendung, wie zum Beispiel (z.B.) in Signalstellanlagen, Robotik und Motorsteuerungen. Da nicht bei allen Systemen eine Einhaltung der vorher definierten Zeitspanne von Nöten ist, wird die Echtzeitanforderungen in drei Kategorien unterteilt. Dabei wird bei Echtzeit unter drei verschiedenen Kategorien unterschieden:

- **Feste Echtzeitanforderung** führt bei einer Überschreitung der vorher definierten Zeitspanne zum Abbruch der Aufgabe.
  - **Beispiel:** Verbindungsaufbau eines Smartphones in das lokale Wireless Local Area Network (WLAN).
- **Weiche Echtzeitanforderung** kann die vorher definierte Zeitspanne überschreiten, arbeitet die Aufgabe normalerweise aber schnell genug ab. Die definierte Zeitspanne kann auch als Richtlinie bezeichnet werden, die aber nicht eingehalten werden muss.
  - **Beispiel:** Druckgeschwindigkeit eines Druckers.
- **Harte Echtzeitanforderung** garantiert die Erfüllung der Aufgabe zu der vorher definierten Zeitspanne.
  - **Beispiel:** Bremspedal eines Autos.

Echtzeit beschreibt somit das zeitliche Ein- bzw. Ausgangsverhalten eines Systems, allerdings nichts über dessen Realisierung. Dies kann je nach Anforderung das Echtzeit-

system rein auf Software auf einem normalen Computer implementiert sein, jedoch wird bei harter Echtzeitanforderung oftmals eine reine Hardware-Lösung mit speziellen Architekturen in Hard- und Software wie z.B. Mikrocontroller-, Field Programmable Gate Array (FPGA)- oder Digital Signal Processor (DSP)-basierte Lösungen verwendet. Bei der Implementierung eines Echtzeitsystems wird unter drei verschiedenen Umsetzungen unterschieden:

- **Feste periodische Abarbeitung:** Es wird nur eine Aufgabe, wie z.B. bei der Umwandlung von analogen Signalen zu digitalen Signalen, mit einer fixen Frequenz  $f$  abgearbeitet, welche die Reaktionszeit  $f = \frac{1}{\text{Reaktionszeit}}$  erfüllt.
- **Synchrone Abarbeitung:** Im Gegensatz zur festen periodischen Abarbeitung können bei diesem Ansatz mehrere Aufgaben, wie z.B. das Abfragen mehrere Sensoren und einer unterschiedlichen Reaktion darauf, erfüllt werden. Allerdings muss dabei die kleinste geforderte Reaktionszeit unter den Aufgaben die Hälfte der maximalen Laufzeit für den Gesamtdurchlauf aller Aufgaben betragen. Dieser Ansatz wird vor allem für weiche Echtzeitsysteme verwendet, weil je nach Komplexität des Systems, das Vorhandensein mehrere Codepfade oder das Warten auf Ein- oder Ausgangssignalen mit unterschiedlicher Ausführungszeit ein Nichtdeterminismus besteht.
- **Prozessbasierte Abarbeitung:** Bei diesem Ansatz können, wie auch bei der Synchronen Abarbeitung mehrere Aufgaben erledigt werden, jedoch mit viel höheren Komplexität. Dabei laufen in der Regel verschieden Prozesse gleichzeitig und mit unterschiedlicher Priorität ab, geregelt durch das Echtzeitbetriebssystem. Die minimale Reaktionszeit definiert sich durch die Zeitdauer für einen Wechsel von einem Prozess niedriger Priorität zu einem Prozess höherer Priorität, anschließend beginnt erst die Abarbeitung des Prozesses mit der höheren Priorität. Durch die Unterbrechung eines Prozesses niedriger Priorität zu einem Prozess höherer Priorität wird für diesen die Erfüllung einer harten Echtzeitanforderung erzwungen, dies wird auch als Präemptives Multitasking bezeichnet. Der Wechsel wird dann eingeleitet, wenn ein definiertes Ereignis eintritt, z.B. durch den internen Timer des Prozessors oder einem externen Trigger (Interrupt) wie z.B. ein anliegendes Signal.

(Siemers, 2017; Wikipedia, 2020a)

## 1.2 Scheduler

Als Scheduler (zu Deutsch Steuerprogramm) wird eine Logik bezeichnet, welche die zeitliche Ausführung von mehreren Prozessen steuert und wird als präemptiver oder kooperativer Scheduler in Betriebssystemen eingesetzt. Bei einem kooperativen Scheduling wird einem Prozess die benötigten Ressourcen übergeben und wartet, bis der Prozess vollständig abgearbeitet wurde. Im Gegensatz zu einem kooperativen Scheduler kann ein

präemptiven Scheduler ein Prozess die Ressourcen vor der Fertigstellung entziehen, um zwischenzeitlich diese anderen Prozessen zuzuweisen (Wikipedia, 2020d).

Allgemein lassen sich die unterschiedliche Scheduler-Systeme in drei Rubriken unterteilen (Wikipedia, 2020b):

- **Stapelverarbeitungssysteme:** Ankommende Prozesse werden nach Eingangszeit in eine Reihe (Queue) angeordnet, die dann nacheinander abgearbeitet wird.
- **Interaktive Systeme:** Eingaben von Benutzern sollten schnellstmöglich abgearbeitet werden, weniger wichtige Aufgaben wie z.B. die Aktualisierung der Uhrzeit werden unterbrochen oder erst im Nachhinein abgearbeitet.
- **Echtzeitsysteme:** Das Echtzeitsystem garantiert die Fertigstellung des Prozesses innerhalb einer definierten Zeitspanne, sofern die CPU Auslastung nicht über 100% beträgt.

Für die Anordnung selbst, wann welcher Prozess ausgeführt wird, gibt es verschiedene Arten von Scheduler.

### 1.2.1 RMS

RMS ist ein präemptives Scheduling-Verfahren, welches die Prioritäten einzelner Prozesse nach deren Periodenlänge statisch anordnet. Je niedriger die Periode eines Prozesses ist, je höher ist dessen Priorität. Mit Hilfe der Gleichung 1 kann die maximale Menge an Jobs, die mit RMS verarbeitet werden können, berechnet werden. Durch eine zunehmende Anzahl von Prozessen nähert sich die Grenze dem Wert von  $\ln(2) \approx 0.693$ , welches eine maximale Auslastung von 69,3% bedeutet. Die maximale Auslastung bezieht sich dabei auf die CPU-Auslastung, alle anderen Ressourcen wie z.B. Arbeitsspeicher werden als unbegrenzt angesehen. Sofern die maximale Auslastung nicht übertreten wird, verpasst kein Prozess die dazugehörige Deadline (Wikipedia, 2020c).

$$U = \sum_{i=1}^n \frac{C_i}{T_i} \leq n \cdot (\sqrt[n]{2} - 1) \quad (1)$$

$U$  CPU-Auslastung  
 $C_i$  Ausführungszeiten  
 $T_i$  Periodenlänge  
 $n$  Anzahl der Jobs

Formel 1: RMS Berechnung der CPU-Auslastung (Wikipedia, 2020c)

### 1.2.2 DMS

Analog zu RMS arbeitet DMS präemptiv prioritätsbasiert, wobei bei DMS der Prozess mit der kürzesten Deadline die höchste Priorität bekommt. Falls bei der Abarbeitung des aktuellen Prozesses ein neuer Prozess mit einer höheren Priorität eintrifft, wird der aktuelle Prozess unterbrochen und der Prozess mit der höheren Priorität bekommt die Rechenzeit. Die Berechnung der maximalen Auslastung erfolgt mit der gleichen Formel 1, dies führt zur gleichen maximalen Auslastung von 69,3%, bei der keine Deadline überschritten werden (Wikipedia contributors, 2021).

### 1.2.3 EDF

Im Unterschied zu DMS wird bei EDF beim Eintreffen eines Prozesses mit höherer Priorität der aktuelle Prozess mit niedriger Priorität nicht unterbrochen, auch sind die Prioritäten nicht statisch, sondern werden bei jedem Scheduling-Vorgang neu vergeben. Ein Context Switch, das heißt ein Wechsel zwischen den Prozessen, findet nur vor Beginn eines Prozesses oder am Ende eines Prozesses statt. In Zuge dieser Masterarbeit wird ein Context Switch nur nach Beendigung eines Prozesses ausgelöst, sofern ein anderer Prozess eine höhere Priorität erhalten hat. Im Gegensatz zu RMS und DMS kann bei EDF der Scheduler die CPU bis auf 100% betragen, dabei darf die Zeitspanne der einzelnen Prozesse bis zur Deadline nur jeweils größer oder gleich der Periode des Prozesses sein (Wikipedia contributors, 2021).

$$U = \sum_{i=1}^n \frac{C_i}{T_i} \quad (2)$$

$U$	CPU-Auslastung
$C_i$	Ausführungszeiten
$T_i$	Periodenlänge
$n$	Anzahl der Jobs

Formel 2: EDF Berechnung CPU-Auslastung (Wikipedia contributors, 2021)

## 1.3 FreeRTOS

FreeRTOS ist ein Echtzeitbetriebssystem für eingebettete Systeme, welches unter der freizügigen Open-Source Lizenz MIT steht. Für eine leichte Wartbarkeit wurde FreeRTOS weitestgehend in C entwickelt, außerdem ist der Scheduler des Betriebssystems zwischen präemptiver und kooperativer Betrieb konfigurierbar um verschiedene Einsatzzwecke abzudecken (Wikipedia, 2019). Des Weiteren wurde FreeRTOS auf über 40 Mikrocontroller-Architekturen portiert („FreeRTOS“, n.d.), um eine größere Bandbreite zu erreichen.

FreeRTOS hat wenig Overhead und der Kernel unterstützt Multithreading, Warteschlangen, Semaphore, Software-Timer, Mutexes und Eventgruppen („FreeRTOS Features“, n. d.). Des Weiteren stellt FreeRTOS unter der Bezeichnung „FreeRTOS Plus“ verschiedene Erweiterungen zur Verfügung, welche erweiterte Funktionen bereitstellen (FreeRTOS, 2020b).

- **FreeRTOS + TCP:** Socketbasiertes TCP/UDP/IP Interface.
- **Application Protocols:** MQTT und HTTP Anwendungsprotokolle für IoT.
- **coreJson:** Effizienter Parser für JSON
- **corePKCS#11:** Verschlüsselungs API-Layer
- **FreeRTOS + IO:** Erweiterung für Peripheriegeräte
- **FreeRTOS + CLI:** Effiziente CLI-Eingaben

Im Zuge dieser Masterarbeit wurde als einziges der Stack 'FreeRTOS + TCP' für die Verbindung zwischen Computer und Mikrocontroller.

### 1.3.1 FreeRTOS Scheduling Richtlinie

Der FreeRTOS Scheduler arbeitet prioritätsbasiert und beinhaltet standardmäßig hauptsächlich zwei Eigenschaften:

- **Time Slicing Scheduling Policy:** Gleich priorisierte Tasks erhalten die gleiche Anteile an CPU-Zeit, dieses Verfahren ist auch als 'Round-Robin Algorithmus' bekannt.
- **Fixed Priority Preemptive Scheduling:** Es wird immer die Task ausgeführt, mit der höchsten Priorität. Das bedeutet eine niedriger priorisierte Task bekommt nur CPU-Zeit, wenn die höher priorisierten Tasks nicht den 'ready'-Status besitzen. Teilen sich zwei Tasks gleichzeitig die höchste Priorität, tritt die Time Slicing Scheduling Policy in Kraft.

Um einen oder beide dieser Eigenschaften abzuschalten, kann dies unter der Datei 'FreeRTOSConfig.h', wie in Programmcode 2 dargestellt, abgeändert werden (Microcontrollerslab, 2021).

```
1  #define configUSE_PREEMPTION                ( 1 )
2  #define configUSE_TIME_SLICING              ( 1 )
```

Programmcode 2: FreeRTOS Scheduling Policy Properties

### 1.3.2 Overhead und Footprint

Die Dauer eines Context Switches, auch Taskwechsel genannt, zwischen zwei tasks ist abhängig von dem Port, dem Compiler und der Konfiguration von FreeRTOS. FreeRTOS selbst gibt ein Beispiel anhand einer Cortex-M3 CPU eine Taskwechsel Zeit von 84 CPU Zyklen an (FreeRTOS, 2020c). Der minimale Random-Access Memory (RAM)- und Read-Only Memory (ROM)-Footprint wird zwischen 6kByte und 12kByte angegeben (FreeRTOS, 2020a).

### 1.3.3 Task States

In FreeRTOS erzeugte Tasks können vier verschiedene Zustände haben (FreeRTOS, 2020d):

- **Running:** Wird gerade ausgeführt.
- **Ready:** Ist bereit zur Ausführung.
- **Blocked:** Wartet auf ein Event, kann nicht ausgeführt werden.
- **Suspended:** Wurde temporär deaktiviert.

Ein Ablaufdiagramm der einzelnen Zustände und deren Wechsel mit Hilfe von FreeRTOS Funktionen wird in Abbildung 1 dargestellt.

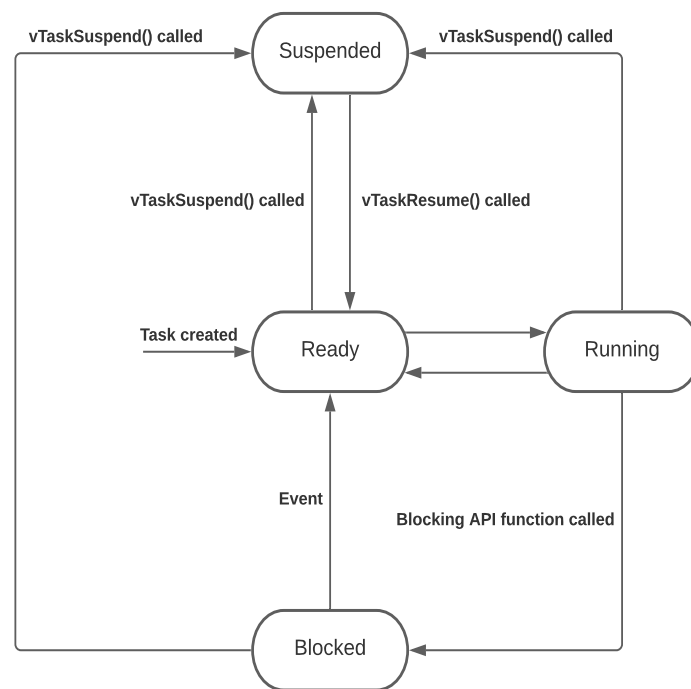


Figure 1: FreeRTOS Task States i.A.a: (FreeRTOS, 2020d)

## 1.4 Idle Task

Die FreeRTOS Idle Task wird immer dann aufgerufen, wenn keine Task ausgeführt werden kann. Dabei wird die FreeRTOS Idle Task automatisch beim Start des FreeRTOS Schedulers mit der niedrigsten verfügbaren Priorität erstellt, um keine Tasks im 'ready' Status zu blockieren. Das heißt die Idle Task wird nur ausgeführt, wenn keine Task eine höhere Priorität als die Idle Task Priorität hat oder keine Task die eine höhere Priorität hat sich im 'ready' Status befindet. Sollte eine Task die gleiche Priorität mit der Idle Task teilen, wird die CPU Zeit, bei Standardkonfiguration, zwischen den zwei Tasks aufgeteilt. Des Weiteren wird die Idle Task in FreeRTOS Standardkonfiguration mit der Priorität 0, also der niedrigsten Priorität gestartet. Beim Ausführen der FreeRTOS Idle Task wird der zugewiesener Speicher von gelöschten Tasks endgültig gelöscht und sollte somit regelmäßig CPU Zeit bekommen, da ansonsten der Arbeitsspeicher überlaufen kann. Des Weiteren kann mit der Flag, wie in Programmcode 3 zu sehen, der Idle Task Hook aktiviert werden. Der Idle Task Hook wird bei jedem Aufruf der Idle Task ausgeführt und ermöglicht dem Benutzer dabei einen zusätzlichen Code auszuführen. Dies kann für verschiedene Einsatzbereiche benutzt werden, z.B. den Mikrocontroller in den Energiesparmodus zu setzen.

```
1 #define configUSE_IDLE_HOOK ( 1 )
```

Programmcode 3: FreeRTOS Idle Task Hook

### 1.4.1 Interrupts

Interrupts werden durch ein Ereignis ausgelöst, z.B. von einem bestimmten Wert eines Timers und führt zur einer Unterbrechung der aktuellen Programmausführung, um in der Regel kurzen, aber zeitlich kritischen, Vorgang abzuarbeiten. Nach der Unterbrechungsanforderung (Interrupt Request (IRQ)) führt der Prozessor eine Unterbrechungsroutine (Interrupt Service Routine (ISR)) mit erweiterten Privilegien auszuführen. Im Anschluss wird der vorherige Zustand des Prozessors wiederhergestellt und die vorherige Ausführung an der unterbrochenen Stelle fortgesetzt (Wikipedia, 2021).

### 1.4.2 FreeRTOS Sys-Tick

Der FreeRTOS Sys-Tick, auch System Tick genannt, ist fundamental für die Taskwechsel in FreeRTOS, dieser Interrupt wird standardmäßig jede Millisekunde aufgerufen. Dieser Wert bietet eine gute Balance zwischen Taskgeschwindigkeit und Overhead von Taskwechsel. Bei jedem Sys-Tick wird die FreeRTOS Funktion 'vTaskSwitchContext()' aufgerufen, diese überprüft ob eine höher priorisierte Task unblocked, also ausführbar geworden ist und falls dies zutrifft wird ein Taskwechsel auf die höher priorisierte Task durchgeführt.

### 1.4.3 FreeRTOS Queues

Queues, zu Deutsch Warteschlange, werden oft, auch außerhalb von FreeRTOS für die sichere Kommunikation zwischen verschiedenen Tasks und/oder Interrupts verwendet. Diese Implementierung von FreeRTOS vermeidet Fehler wie ein Deadlock, z.B. eine höher priorisierte Task wartet auf einen Wert einer niederen priorisierten Task, wobei die niedere priorisierte Task nie ausgeführt wird. Dabei wird oft das Prinzip First Input First Output (FIFO) verwendet, um eine zeitliche Abarbeitung der Daten abzuarbeiten.

## 1.5 Periodische Tasks

Anwendungen auch Prozesse oder Tasks genannt, werden in Echtzeitsystemen oft periodisch, z.B. das Abrufen eines Sensorwertes, ausgeführt. Periodische Tasks setzen sich aus folgenden Parametern zusammen:



$$T_i(\Phi_i, P_i, e_i, D_i) \quad (3)$$

$T_i$	Task Nummer
$\Phi_i$	Phase
$e_i$	Ausführzeit (Worst Execution Time (WCET))
$D_i$	Deadline

Formel 3: Parameter von periodischen Tasks

Mit diesen vier Parameter jeder einzelnen periodischen Tasks können die verschiedenen Scheduler-Verfahren die Ausführung der einzelnen Tasks planen und umsetzen. Im Zuge der Aufgabenstellung bei dieser Masterarbeit wurden keine Tasks mit einer Phasenverschiebung verlangt, daher kann der Parameter  $\Phi_i = 0$  angesehen werden.

## 1.6 UDP

Für die Erfüllung der Aufgabe dieser Masterarbeit musste ein Kommunikationsmittel zwischen Computer und Mikrocontroller ausgesucht werden, welches verschiedene Eigenschaften erfüllt:

- **verbindungslos:** Der Sender sendet Daten ohne eine Bestätigung des Eingangs der Daten zu bekommen. Dies hat den Vorteil einer latenzärmeren Datenübertragung.
- **wenig Overhead:** Das Empfangen und Senden sollte so wenig wie möglich Ressourcen, wie CPU-Zeit, blockieren.
- **hohe Übertragungsrate:** Es sollten so viele Daten wie möglich, innerhalb einer bestimmten Zeit übertragen.

Aus diesen Gründen wurde das Netzwerkprotokoll UDP, welches heutzutage in vielen Anwendungen, wie z.B. Internet Protocol (IP)-Telefonie und Videostreams, verwendet. Für den Verbindungsaufbau verwendet UDP Ports, welche Teil einer Netzwerk-Adresse darstellen, um versendete Daten dem gewünschten Programm an der Gegenstelle zukommen zu lassen (Wikipedia, 2020f).

## 1.7 FFT

Die DFT kann ein zeitdiskretes Signal in dessen Frequenzteile (Spektrum) aufspalten, wie in Abbildung 2 dargestellt. Dies ist sehr nützlich für viele Bereiche der Signalverarbeitung z.B. für das Komprimieren von Musikaufnahmen, wo nicht hörbare Frequenzen rausgefiltert werden.

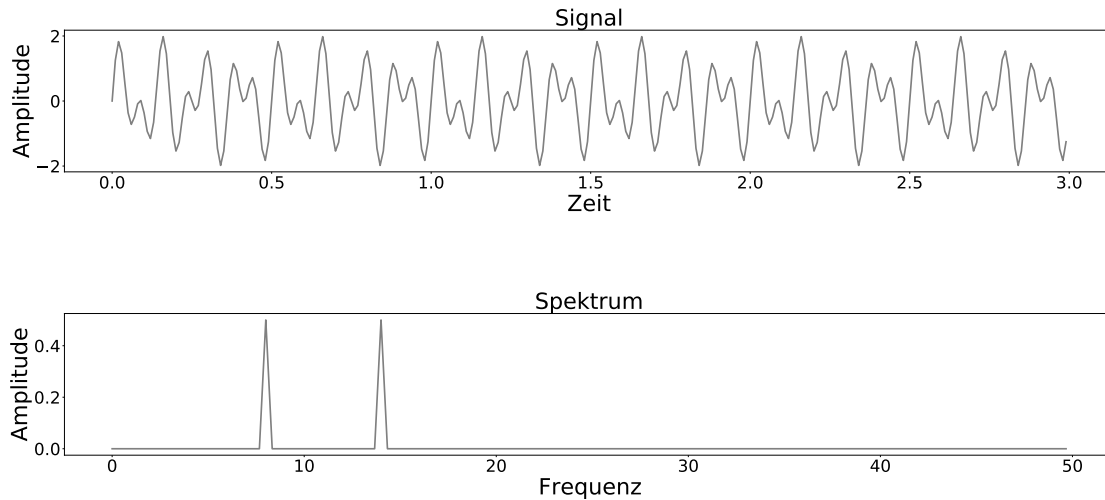


Figure 2: Aufspaltung eines Signals in dessen Frequenzteile

Bei der Berechnung einer DFT steigt dessen Komplexität  $O$  mit der Anzahl der Abtastpunkte  $N$  quadratisch an, wie in der Formel 4 dargestellt. Dies führt dazu, dass eine reine Berechnung mit Hilfe der DFT auf kleinen Mikrocontrollern häufig nicht praktikabel ist.

$$O(N) = (N^2) \quad (4)$$

Formel 4: Berechnung der DFT Komplexität

Im Gegensatz zur DFT stellt die FFT ein Algorithmus dar, mit der der Rechenaufwand deutlich reduziert wird. Aus diesem Grund wird häufig die FFT benutzt, die nach dem 'Teile und Herrsche'-Verfahren funktioniert und nur noch eine Komplexität von  $O(N) = (N * \log(N))$  besitzt (TU-Chemnitz, 2020). Durch diese enorme Zeit- und Rechensparnis fand die FFT in vielen Bereichen, wie z.B. in Ingenieurwissenschaften, Musik, Wissenschaft und der Mathematik Verwendung (Wikipedia, 2020e). Für die Berechnung der FFT sind mehrere Algorithmen verfügbar, wobei in dieser Masterarbeit der Radix-2 Algorithmus von der Cortex Microcontroller Interface Standard (CMSIS)-DSP Bibliothek verwendet wurde. Als Voraussetzung des Algorithmus der FFT muss die Anzahl der Messwerte  $N$ , auch Samples genannt, einer Zweierpotenz entsprechen.

$$N = 2^N, N \in \mathbb{N} \quad (5)$$

$N$  Anzahl von Samples  
 $\in$  natürliche Zahlen

Formel 5: Rechenbedingung der FFT

Wird die Rechenbedingung in Formel 5 erfüllt, kann diese in zwei Teilsummen zerlegt werden, je eine für gerade und ungerade Indizes.

$$X(k) = \sum_{n=0}^{N-1} x(n) \cdot w_N^{n \cdot k} = \sum_{n=0,2,\dots}^{N-2} x(n) \cdot w_N^{n \cdot k} + \sum_{n=1,3,\dots}^{N-1} x(n) \cdot w_N^{n \cdot k} \quad (6)$$

$$w = e^{-j \cdot \frac{2 \cdot \pi}{N}} \quad \text{komplexer Drehfaktor der DFT}$$

Formel 6: Aufteilung der DFT i.A.a (Werner, 2012)

Anschließend wird eine Substitution wie folgt angewandt:

$$\begin{aligned} n &= 2m && \text{für } n \text{ gerade} \\ n &= 2m + 1 && \text{für } n \text{ ungerade} \\ M &= N/2 && \text{als Abkürzung} \end{aligned}$$

Table 1: Substitution der DFT i.A.a (Werner, 2012)

Und berücksichtigt folgende Umformungen:

$$w_N^{2m \cdot k} = w_M^{m \cdot k} \quad \text{und} \quad w_N^{(2m+1) \cdot k} = w_N^k \cdot w_M^{m \cdot k} \quad (7)$$

Formel 7: Umformung DFT i.A.a (Werner, 2012)

Resultieren zwei Gleichungen mit der halben Länge:

$$X(k) = \sum_{m=0}^{M-1} x(2m) \cdot w_M^{m \cdot k} + \sum_{m=0}^{M-1} x(2m+1) \cdot w_M^{m \cdot k} \quad (8)$$

Formel 8: Resultierende Gleichungen nach Aufspaltung der DFT i.A.a (Werner, 2012)

Ist die resultierende Länge der DFT wieder eine Zweierpotenz, wird die Zerlegung solange fortgeführt, bis  $N$  Vektoren der Länge  $2^0$  erhält (Werner, 2012). Anschließend werden die Ergebnisse zusammengerechnet und die DFT wurde gelöst.

## 1.8 Plattform

Als Plattform für dieses Projekt dient ein STM32F769I-Disc0 board der Firma ST. Dieses beinhaltet einen ARM®Cortex®-M7 Prozessor und hat für die verwendete Arbeit mehr als ausreichende Rechenleistung. Für die Kommunikation zwischen Host-Computer und Mikrocontroller wurde die Ethernet Schnittstelle verwendet, des Weiteren wurde eine

'Debug-Flag' integriert, welche über den integrierten Universal Asynchronous Receiver Transmitter (USART) Debug Informationen sendet. Dieses Flag sollte allerdings nicht im produktivbetrieb benutzt werden, da dies zu unvorhersehbaren Verzögerungen der Tasks und im Scheduling kommen kann. Für die visuelle Demo-Applikation wurden außerdem die drei, auf dem Board integrierten, LEDs benutzt.



Figure 3: STM32F769I-Disc0 Board, Quelle: („STM32F769I-Disc0“, 2020)

## 2 Der EDF Scheduler

Der EDF Scheduler lässt sich mit einer einzelnen C-Datei, sowie einer Header-Datei in FreeRTOS implementieren. Dies vereinfacht die Implementierung auf andere FreeRTOS Versionen, sowie auch das portieren auf andere Plattformen. Um die Portabilität weiter zu ermöglichen, wurde der FreeRTOS SystemTick (SysTick) mit der standartmäßigen Genauigkeit von einer Millisekunde und nicht einen weiteren benutzerdefinierten Timer, wie es die Cortex-M Serie ermöglicht, benutzt. Daher resultiert auch die Genauigkeit des Schedulers von einer Millisekunde, wobei auftauchende Interrupts vernachlässigt werden. Die Periode des SysTick lässt sich unter der Datei 'FreeRTOSConfig.h' einstellen, jedoch ändert sich somit auch die Genauigkeit des EDF Schedulers. Als Standart ist bei einer FreeRTOS Installation eine Millisekunde definiert, welche für den EDF Scheduler einen guten Kompromiss zwischen Applikationslaufzeit und Genauigkeit bietet.

### 2.1 Implementierung

Um eine einfache und zugleich sehr schnelle Implementierung eines EDF Schedulers in FreeRTOS zu gewährleisten, wurde in dieser Arbeit der FreeRTOS Scheduler weiterverwendet. Der FreeRTOS Scheduler arbeitet, wie in Unterunterabschnitt 1.3.1 bereits behandelt, prioritätsbasiert. Durch den aufruf einer in dieser Masterarbeit entworfene Funktion am Ende jeder EDF Task, wird zwischen allen erstellten EDF Tasks, die Priorität der nächsten Task nachdem edf Prinzip auf die höchste Priorität gesetzt und die aktive Task auf eine niedere Priorität als die FreeRTOS Idle Task gesetzt.

Ein weiteres Feature des EDF Schedulers ist, dass durch die weiterverwendung des standard Scheduler von FreeRTOS, dieser parallel verwendet werden kann, allerdings ist zu beachten, dass eine höhere priorisierte Task, als die des EDF Schedulers definierte höchste Task, die Deadlines der EDF Tasks zu überziehen. Auf der anderen Seite wird eine niedrigere priorisierte Task, wie von dem EDF Scheduler ausgewählte Task, niemals ausgeführt wird.

Für die Implementierung des EDF Scheduler in FreeRTOS wurde darauf geachtet, dass keine Programmabschnitte von FreeRTOS selbst modifiziert wurden. Dadurch ist es möglich,

## Figures

1	FreeRTOS Task States i.A.a: (FreeRTOS, 2020d) . . . . .	10
2	Aufspaltung eines Signals in dessen Frequenzteile . . . . .	13
3	STM32F769I-Disc0 Board, Quelle: („STM32F769I-Disc0“, 2020) . . . . .	15

## Tables

1	Substitution der DFT i.A.a (Werner, 2012) . . . . .	14
---	---	----

## Literatur

- FreeRTOS [[Online; Stand 9. November 2020]]. (n.d.). %5Curl%7Bfreertos.org%7D  
FreeRTOS. (2020a). FreeRTOS Footprint [[Online; Stand 11. Januar 2021]]. <https://www.freertos.org/RTOS.html>
- FreeRTOS. (2020b). FreeRTOS Libraries [[Online; Stand 11. Januar 2021]]. <https://www.freertos.org/FreeRTOS-Plus/index.html>
- FreeRTOS. (2020c). FreeRTOS Overhead [[Online; Stand 11. Januar 2021]]. <https://www.freertos.org/FAQMem.html#ContextSwitchTime>
- FreeRTOS. (2020d). FreeRTOS Task States [[Online; Stand 11. Januar 2021]]. <https://www.freertos.org/RTOS-task-states.html>
- FreeRTOS Features [[Online; Stand 9. November 2020]]. (n.d.). %5Curl%7Bfreertos.org/features%7D
- Microcontrollerslab. (2021). FreeRTOS Scheduler: Learn to Configure Scheduling Algorithm [[Online; Stand 11. Januar 2021]]. <https://microcontrollerslab.com/freertos-scheduler-learn-to-configure-scheduling-algorithm/#:~:text=FreeRTOS%20Scheduling%20Policy,-FreeRTOS%20kernel%20supports&text=In%20this%20algorithm%2C%20all%20equal,before%20a%20low%20priority%20task.>
- Siemers, P. D. C. (2017). Echtzeit: Grundlagen von Echtzeitsystemen [[Online; Stand 9. November 2020]]. %5Curl%7Bhttps://www.embedded-software-engineering.de/echtzeit-grundlagen-von-echtzeitsystemen-a-669520/%7D
- STM32F769I-Disc0 [[Online; Stand 18. Januar 2021]]. (2020). <https://www.digikey.de/product-detail/de/stmicroelectronics/STM32F769I-DISCO/497-16524-ND/6004739>
- TU-Chemnitz. (2020). User Datagram Protocol — Wikipedia, Die freie Enzyklopädie [[Online; Stand 12. Januar 2021]]. Die%20Fourier-Transformation
- Werner, M. (2012). *Digitale Signalverarbeitung mit MATLAB®* [Grundkurs mit 16 ausführlichen Versuchen]. Springer Vieweg.
- Wikipedia. (2019). FreeRTOS — Wikipedia, Die freie Enzyklopädie [[Online; Stand 9. November 2020]]. %5Curl%7Bhttps://de.wikipedia.org/w/index.php?title=FreeRTOS&oldid=192678143%7D
- Wikipedia. (2020a). Echtzeitsystem — Wikipedia, Die freie Enzyklopädie [[Online; Stand 9. November 2020]]. %5Curl%7Bhttps://de.wikipedia.org/w/index.php?title=Echtzeitsystem&oldid=200724790%7D
- Wikipedia. (2020b). Prozess-Scheduler — Wikipedia, Die freie Enzyklopädie [[Online; Stand 11. Januar 2021]]. <https://de.wikipedia.org/w/index.php?title=Prozess-Scheduler&oldid=205225114>

- Wikipedia. (2020c). Rate Monotonic Scheduling — Wikipedia, Die freie Enzyklopädie [[Online; Stand 11. Januar 2021]]. [https://de.wikipedia.org/w/index.php?title=Rate\\_Monotonic\\_Scheduling&oldid=196180419](https://de.wikipedia.org/w/index.php?title=Rate_Monotonic_Scheduling&oldid=196180419)
- Wikipedia. (2020d). Scheduling — Wikipedia, Die freie Enzyklopädie [[Online; Stand 9. November 2020]]. <https://de.wikipedia.org/w/index.php?title=Scheduling&oldid=202856507%7D>
- Wikipedia. (2020e). Schnelle Fourier-Transformation — Wikipedia, Die freie Enzyklopädie [[Online; Stand 16. Januar 2021]]. [https://de.wikipedia.org/w/index.php?title=Schnelle\\_Fourier-Transformation&oldid=201776759](https://de.wikipedia.org/w/index.php?title=Schnelle_Fourier-Transformation&oldid=201776759)
- Wikipedia. (2020f). User Datagram Protocol — Wikipedia, Die freie Enzyklopädie [[Online; Stand 12. Januar 2021]]. [https://de.wikipedia.org/w/index.php?title=User\\_Datagram\\_Protocol&oldid=204278447](https://de.wikipedia.org/w/index.php?title=User_Datagram_Protocol&oldid=204278447)
- Wikipedia. (2021). Interrupt — Wikipedia, Die freie Enzyklopädie [[Online; Stand 11. Januar 2021]]. <https://de.wikipedia.org/w/index.php?title=Interrupt&oldid=207161465>
- Wikipedia contributors. (2021). Earliest deadline first scheduling — Wikipedia, The Free Encyclopedia [[Online; accessed 11-January-2021]]. [https://en.wikipedia.org/w/index.php?title=Earliest\\_deadline\\_first\\_scheduling&oldid=999660324](https://en.wikipedia.org/w/index.php?title=Earliest_deadline_first_scheduling&oldid=999660324)